

?

A - 1163

TARTU RIIKLIKU ÜLIKOOLI TOIMETISED
УЧЕНЫЕ ЗАПИСКИ
ТАРТУСКОГО ГОСУДАРСТВЕННОГО УНИВЕРСИТЕТА
VII NIK 42 ВЫПУСК

ARSTITEADUSKONNA JA MATEMAATIKA-
LOODUSTEADUSKONNA ÜLIÖPILASTE
TEADUSLIKKE TÖID

51

СТУДЕНЧЕСКИЕ НАУЧНЫЕ РАБОТЫ
МЕДИЦИНСКОГО И ЕСТЕСТВЕННО-
МАТЕМАТИЧЕСКОГО ФАКУЛЬТЕТОВ

H. Stumbwe



EESTI RIIKLIK KIRJASTUS
TALLINN 1956

О НАУТИЛОИДЕЯХ КОХИЛАСКОГО ЯРУСА (ВЕРХНИЙ ОРДОВИК ПРИБАЛТИКИ)*

Х. Стумбур

Кружок геологии. Руководитель канд. геол. мин. наук А. Рымусокс

Введение

Настоящая статья содержит первоначальные результаты исследования наутилоидей вормсского и пиргусского горизонтов на базе материала, имеющегося в Геологическом Музее АН ЭССР (ГМАН), и литературы. Потребность исследования наутилоидей возникла в связи с детальным исследованием стратиграфии ордовика Прибалтики. Несмотря на небольшой материал, было возможно выделить 5 новых видов из родов *Orthoceras*, *Spyroceras*, *Schroederoceras* и *Endoceras*.

Впервые наутилоидей вормсского и пиргусского горизонтов описываются в работе Э. Эйхвальда [3]. В данной работе Э. Эйхвальд описывает 11 родов и 29 видов наутилоидей.

В напечатанной в 1891 году работе Х. Шрёдера описаны из этих горизонтов 2 вида [4].

Первым специальным исследованием наутилоидей комплекса F_1 является работа К. Тейхерта [6]. В этой работе описывается 18 родов и 23 вида наутилоидей, из них 12 новых видов и новый род *Lyckholmoceras*. В работе Тейхерта рассматривается более детально, чем в предыдущих работах, внутреннее строение наутилоидей.

Некоторые данные о наутилоидеях F_1 мы можем еще найти в работе Т. Шранда [5]. Им описаны 5 родов и 6 видов. Впервые описан род *Kiaeroceras*.

В сборнике ВНИГРИ опубликованы две статьи З. Балашова (1953 А, 1953 В) [1]. В последней из них (1953 В) описывается из F_1 три вида наутилоидей. В первой статье (1953 А) рассматривается стратиграфическое распространение наутилоидей в ордовике Прибалтики, но при этом сауньяский, вормсийский и пиргуский горизонты не выделяются.

* Кохилаский ярус (F_1b — F_1c) по А. Рымусоксу [2].

Вышеназванными работами ограничивается основная литература по наутилоидям сауньяского, вормсского и пиргусского горизонтов, из которых, несомненно, наиболее важной по точности и богатству материала является работа К. Тейхерта.

Распространение наутилоидей в кохиласком ярусе

Как известно, фауна наутилоидей кохилаского яруса очень разнообразна. Изложенный в настоящей статье материал характеризует только часть фауны наутилоидей этого яруса и она нуждается в дальнейшем многократном изучении.

Сравнивая между собой фауны наутилоидей сауньяского горизонта (F_1a) и кохилаского яруса, мы видим, что они имеют только несколько общих видов (см. табл. 1). В вормсском горизонте (F_1b) появляется целый ряд новых родов, как *Spyroceras*, *Discoceras*, *Lyckholmoceras*, *Heloceras* и др., и быстро растет число видов ранее существовавших родов. Появление новых родов продолжается и в пиргусском горизонте (F_1c) (*Piersaloceras*, *Nybyoceras*, *Charactoceras*), но уже начинается обедняться общий видовой состав фауны. Если в F_1b встречается 40 видов, то в F_1c только 23 и из них общими с F_1b являются только 7. Фауны наутилоидей пиргусского (F_1c) и поркунинского (F_2) горизонтов резко различаются. К концу пиргусского времени вымирает большинство наутилоидей, встречающихся в горизонтах F_1 , и в поркунинском времени иммигрируют характерные силурийские наутилоидей.

По данным литературы и исследований автора в кохиласком ярусе встречаются следующие виды (таблица 1):

Таблица 1.

Название видов	F_1a	F_1b	F_1c	F_2
<i>Ascoceras deforme</i> Eichw.		+		
<i>Nothoceras impressum</i> Eichw.		+		
<i>Orthoceras bicingulatum</i> Sandb. aff.		+		
— <i>bacillum</i> Eichw.		+		
— <i>decivae</i> Eichw.		+		
— <i>exaltum</i> Eichw.		+		
— <i>obliquum</i> Eichw.		+		
— <i>dimidiatum</i> Muenst.		+		
— <i>cuneolus</i> Eichw.		+		
— <i>saxbyense</i> Teichert		+		
— <i>luhai</i> sp. n.		+		
— <i>regularē</i> Schlotheim		+		

Таблица 1. (продолж.)

Название видов	F _{1a}	F _{1b}	F _{1c}	F ₂
<i>Leurocycloceras foerstei</i> Teich.	+	+		
<i>Spyroceras clathrato-annulatum</i> (Roem.)	+	+		
— <i>textum-arenaceum</i> (Roem.)		+		
— <i>senkenbergi</i> Teich.	+			
— <i>saxbyense</i> sp. n.	+			
<i>Schroederoceras angulatum</i> (Saem.)	+	+	+	
— <i>roemerii</i> (Strand)	+	+	+	
— <i>hyatti</i> (Strand)	+			
— <i>balaschovi</i> sp. n.			+	
<i>Discoceras antiquissimum</i> (Schm.)	+ (?)	+	+	+ (?)
— <i>eatoni</i> Whitfield				+ (?)
<i>Piersaloceras gageli</i> Teichert			+	
<i>Dowlingoceras (?) piersalense</i> Teich.			+	
<i>Nybyoceras bekkeri</i> Troedsson		+		
— <i>balticum</i> (Troed.)		+		
— <i>intermedium</i> Teich.		+		
<i>Ormoceras heckeri</i> Teich.		+		
<i>Cyrtorizoceras borni</i> Teich.	+ (?)			
<i>Beloitoceras heterocurvatum</i> Strand		+		
— <i>(?) estonicum</i> Teich.		+		
<i>Cyrtocomphoceras (?) troedssoni</i> Teich.		+		
<i>Diestoceras stensioei</i> (Troed.)	+ (?)	+	+	
<i>Codoceras schmidti</i> Teich.		+ (?)		
<i>Protophragmoceras sphinx</i> (Schm.)	+	+	+	
<i>Lyckholmoceras estoniae</i> Teich.		+		
<i>Cycloceras serpentinum</i> Eichw.	+			
— <i>annulatum</i> Sow.		+		
— <i>ibex</i> Sow.		+		
— <i>fenestratum</i> Eichw.	+			
— <i>striatum</i> Sow.		+		
<i>Endoceras megastoma</i> Eichw.	+	+		
— <i>iucundum</i> sp. n.		+		
— <i>magnum</i> sp. n.		+		
<i>Actinoceras bigsbyi</i> Bronn			+	
<i>Heloceras tuberculatum</i> Eichw.		+		
<i>Phragmoceras flexuosum</i> Schloth.		+		
— <i>eximum</i> Eichw.		+		
— <i>sulciferum</i> Eichw.		+		
— <i>complanatum</i> Eichw.		+		
<i>Cyrtoceras simplex</i> Billings.	+ (?)			
— <i>substriatum</i> Eichw.		+		
— <i>priscum</i> Eichw.		+		
<i>Kieroceras cf. frognyense</i> Strand			+	
<i>Charactoceras estonicum</i> Strand			+	

Из высказанных видно, что максимального расцвета наутилоиды достигают в вормсское время, и вымирание ордовикских наутилоидей начинается уже с пиргусского времени и происходит главным образом путем обеднения видового состава.

Описание новых видов

Сем. *Orthoceratidae* M'Coy

Род: *Orthoceras* Breynius emend. Foerste et Teichert

Orthoceras luhai sp. nov.

Табл. I, фиг. 2, 3; табл. II, фиг. 4; табл. III, фиг. 1; рис. 1.

Голотип. ГМАН № С 1002, происходит из окрестностей Кохила. Вормсийский горизонт (F_{1b}).

Диагноз. Раковина длинно-коническая, ортоцероид. Поперечное сечение и перегородочная линия округлые. Септальные

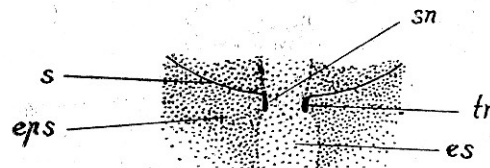


Рис. 1. *Orthoceras luhai* sp. nov. схема внутреннего строения раковины: s — септа; sn — септальный нект; tr — опорное кольцо, eps — эписептальное отложение, es — эндосифональное отложение. (Табл. II, фиг. 4.)

дудки короткие. Септы сильно вогнуты вниз. Сифон расположен близко к центру. Высота воздушных камер 7—8 мм.

Материал. Один экземпляр представлен фрагментом фрагмакона.

Описание. Описываемый экземпляр представлен длинно-конической раковиной, которая возрастает к устью. Судя по проксимальной части септы, поверхность раковины была гладкая. Поперечное сечение и перегородочная линия округлые. Сифонложен близко к центру. Септы тонкостенные и сильно выгнуты вниз. Септальные дудки короткие и слегка обращены назад. (Рис. 1).

Соединительные кольца не сохранились, но, судя по эндосифональным отложениям, сегменты были слегка выпуклые. Оральная часть сегмента прикреплялась извне к сифонному дудку, а апикальная часть к внутренней стороне сифонного дудка. Отношение ширины сегмента к его длине 1,55.

Высота воздушных камер 7—8 мм.

Максимальный диаметр фрагмента 29 мм. Наименьший диаметр фрагмента 27 мм. Длина фрагмента 38 мм. Вычисленная длина апикальной части раковины 355 мм.*

Возраст. Вормсийский горизонт (F_{1b}).

Местонахождение. Эстонская ССР — окрестности Кохила.

Сем. *Kionoceratidae* Hyatt.

Род *Spyroceras* Hyatt, 1884

Spyroceras saxbyense sp. nov.

Табл. I, фиг. 1; табл. II, фиг. 2; рис. 2.

Голотип. ГМАН № С 1008, происходит из Сакси (северное обнажение). Кыргесаарский подгоризонт вормсского горизонта (F_{1ba}).

Диагноз. Раковина длинно-коническая, ортоцероид. Поперечные ребра с округлыми гребнями. Между ребрами находятся

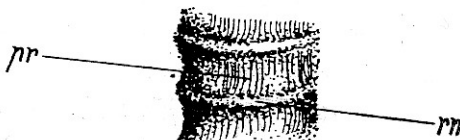


Рис. 2. *Spyroceras saxbyense* sp. nov.
схема скульптуры раковины; *pr* — поперечное ребро, *rm* — продольные ребрышки.
(Табл. II, фиг. 2.)

тонкие продольные ребрышки. На 1 мм приходится до 3 ребрышек.

Материал. Имеется два экземпляра хорошей сохранности.

Описание. Голотип представлен фрагментом длинно-конической ортоцероидной раковины. Поперечное сечение и перегородочная линия округлые. Поверхность раковины с сильными поперечными ребрами и продольными ребрышками. Поперечные ребра с округлыми гребнями, но продольные ребрышки тонкие и находятся между ребрами. (Рис. 2.)

Расстояние между поперечными ребрами 3 мм. На 1 мм приходится до 3 ребрышек. Раковина возрастает к устью.

Максимальный диаметр фрагмента 14 мм. Наименьший диаметр 12 мм. Длина фрагмента 29 мм. Вычисленная длина апикальной части раковины 167 мм.

Сравнение. *S. saxbyense* сходен с *S. senckenbergi* Teich., но первый имеет более сильные поперечные ребра и продольные ребрышки меньшей густоты.

* Для вычисления использовалась формула К. Тейхерта (1930, стр. 268).

Возраст. Кыргесаарский подгоризонт вормсского горизонта (F_{1ba}).

Местонахождение. Эстонская ССР — Сакси (северное обнажение).

Сем. *Trocholitidae* Hyatt.

Род *Schroederoceras* Hyatt, 1894

Schroederoceras balaschovi sp. nov.

Табл. I, фиг. 5, 6.

Голотип. ГМАН № С 1030, происходит из валунов Холма в Хаапсалу. Пийрсалуский подгоризонт пиргусского горизонта (F_{1cy}).

Диагноз. Раковина дисковидная с максимальным диаметром в 62 мм. Поперечное сечение оборота почти круглое. Высота оборота 22 мм. На спинной стороне имеется слабо выраженный контактовый желобок. Поверхность раковины с поперечными штрихами роста и слабо выраженными ребрами, которые образуют глубокий синус на брюшной стороне. Сифон расположен близко к спинной стороне.

Материал. Имеется одна неполная раковина с 2,5 оборотами. Сохранность экземпляра удовлетворительная.

Описание. Голотип представлен неполным диском с 2,5 оборотами. Обороты постепенно возрастают к устью. Диаметр диска 62 мм. Поперечное сечение оборота почти круглое с высотой в 22 мм. На спинной стороне имеется слабо выраженный контактовый желобок. Поверхность раковины с слабо выраженными ребрами и штрихами роста. Оба образуют глубокий синус на брюшной стороне. Сифон расположен близко к спинной стороне. Строение сифона ортоханоидальное.

Сравнение. Описываемый вид по внешней форме сходен с *S. ivense* Balaschov, но отличается от него по форме поперечного сечения оборота и по расположению сифона.

Возраст. Пийрсалуский подгоризонт пиргусского горизонта (F_{1cy}).

Местонахождение. Эстонская ССР — г. Хаапсалу (холм).

Сем. *Endoceratidae* Hyatt.

Род *Endoceras* Hall., 1844

Endoceras iucundum sp. nov.

Табл. I, фиг. 4; табл. II, фиг. 1; рис. 3.

Голотип. ГМАН № С 1043, происходит из обнажения Нымкула. Нымкуласский подгоризонт вормсского горизонта ($F_{1b\beta}$).

Диагноз. Раковина длинно-коническая, ортоцероид. Поверхность раковины гладкая. Перегородочная линия округлая. Септы сильно выгнуты вниз. Сифонные дудки длинные и достигают половины воздушной камеры. Сифон в контакте с брюшной стороной раковины.

М а т е р и а л. Имеются две неполные раковины. Сохранность материала удовлетворительная.

О п и с а н и е. Описываемый вид имеет длинно-коническую ортоцероидную раковину. Поверхность раковины гладкая. Поперечное сечение и перегородочная линия округлые. Высота воздушных камер 8 мм. Септы тонкостенные и сильно выгнуты вниз. Сифонные дудки длинные и достигают половины воздушной камеры (рис. 3).

Оральная часть сегмента прикрепляется к краю сифонного дудка, а апикальная часть его к выпуклой части. Такое строение

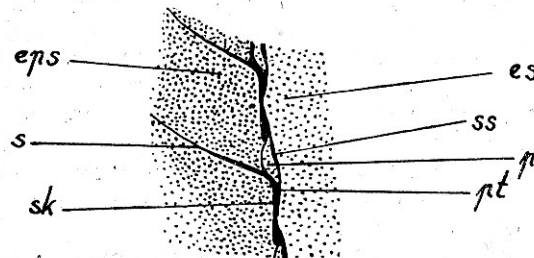


Рис. 3. *Endoceras iucundum* sp. nov. схема внутреннего строения раковины: s — септа, sk — сифонные дудки, ss — сегмент сифона, pt — периспациальное отложение, es — эндосифональное отложение, eps — эписептальное отложение.

эктоцифона придает ему форму длинного и острого конуса. В строении сегментов мы можем еще выделить периспациаль и периспациальное отложение. Сифоны в контакте с брюшной стороной раковины. Диаметр сифона около половины диаметра раковины.

Максимальный диаметр фрагмента 35 мм. Максимальный диаметр сифона 17 мм. Наименьший диаметр фрагмента 29 мм. Длина фрагмента 89 мм. Вычисленная длина апикальной части 208 мм.

Возраст. Нымкуласский подгоризонт вормсского горизонта ($F_{1b\beta}$).

Местонахождение. Эстонская ССР — Нымкула, Сакеби (южное обнажение).

Endoceras magnum sp. nov.

Табл. III, фиг. 2, 3; рис. 4.

Голотип. ГМАН № 1046, происходит из Сакеби (южное обнажение). Нымкуласский подгоризонт вормсского горизонта ($F_{1b\beta}$).

Диагноз. Раковина длинно-коническая, ортоцероид. Поверхность раковины гладкая. Поперечное сечение и перегородочная линия округлые. Воздушные камеры относительно низкие. Септы

вогнуты вниз. Септальные дудки длинные и достигают длины одной воздушной камеры. Переход от септ к сифонным дудкам представляется в виде большой плавной дуги. Сифон имеет форму длинного конуса и находится в контакте с брюшной стороной раковины.

М а т е р и а л. Имеется один экземпляр хорошей сохранности.

О п и с а н и е. Раковина голотипа длинно-коническая, ортоцероид. Поверхность раковины гладкая. Поперечное сечение и перегородочная линия округлые. Воздушные камеры относительно низкие. Септы тонкостенные и вогнуты вниз. Переход от септ к сифонным дудкам в виде большой плавной дуги (рис. 4).

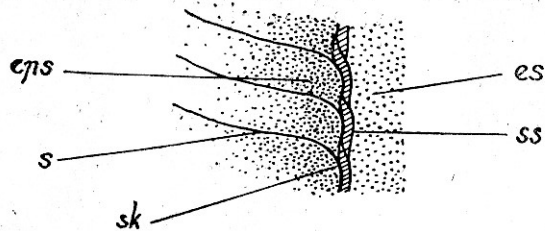


Рис. 4. *Endoceras magnum* sp. nov. схема внутреннего строения: s — септа, sk — сифонный дудок, ss — сегмент сифона, eps — эписептальное отложение, es — эндосифональное отложение.

Сегменты очень толстостенные и покрывают всю внутреннюю сторону сифонного дудка. Оральная часть сегмента прикрепляется к краю сифонного дудка. Апикальная часть, проходя через сифонный дудок, прикрепляется к оральной части предыдущего сегмента. При таком способе прикрепления оральные части сегментов остаются покрытыми апикальными частями следующих сегментов. Этим обусловливается, что *E. magnum* имеет толстый и сильный эктоцифональ и конический эндосифональ. Сифон расположен в контакте с брюшной стороной раковины.

Высота воздушных камер 8,5—7 мм. Максимальный диаметр фрагмента 78 мм. Максимальный диаметр сифона 34 мм. Наименьший диаметр фрагмента 72 мм. Вычисленная длина апикальной части 840 мм.

Возраст. Нымкуласский подгоризонт вормсского горизонта ($F_{1b\beta}$).

Местонахождение. Эстонская ССР — Сакеби (южное обнажение).

ЛИТЕРАТУРА

- Балашов З. Г. А) Стратиграфическое распространение наутилоидей в ордовике Прибалтики. Б) Свернутые и полусвернутые наутилоидей ордовика Прибалтики. Стратиграфия и фауны ордовика и силура запада Русской платформы. (Сборник статей). Труды ВНИГРИ, вып. 78. Л.—М. 1953.

2. Рыムусокс А. Биостратиграфическое расчленение ордовика Эстонской ССР. Труды Инст. Геол. Акад. наук Эст. ССР, вып. 1. Таллин, 1956.
3. Eichwald E. Lethaea Rossica on Paleontology de la Russie. Stuttgart. 1860.
4. Schröder H. Untersuchungen über silurische Cephalopoden. Palaeontol. Abhandl. herausg. von W. Dames u. E. Kayser. N. F. B. I, H. 4. 1891.
5. Strand T. The upper Ordovician Cephalopods of the Oslo area. Norsk. geol. Tidsskrift. B. XIV, H. 1, pag. 1—117, 1933.
6. Teichert C. Die Cephalopoden-Fauna der Lychholm-Stufe des Ostbaltikums. Paleontol. Zeitschrift. B. 12. Berlin, 1930.

КОХИЛА ЛАДЕСТИКУ (БАЛТИКУМ ÜLEMORDOVIITSIUM) НАУТИЛОИДИДЕСТ.

H. Stumbur.

Geoloogia ring. Juhendaja geol. min. tead. kand. A. Rõõmusaks.

Resümee.

Кäesolevas artiklis antakse ülevaade nautilooidide levikust Kohila ladestikus. Nimetatud ladestiku fauna on tunduvalt erinev nii lamava Saunja lademe, kui ka lasuva Porkuni lademe nautilooidide faunist. Suurima liigirikkuse saavutavad nautiloovid Vormsi ladesmes (vt. tabel 1). Artiklis kirjeldatakse Kohila ladestikust viis uut liiki: *Orthoceras luhai* sp. nov., *Spyroceras saxbyense* sp. nov., *Schroederoceras balaschovi* sp. nov., *Endoceras iucundum* sp. nov. ja *Endoceras magnum* sp. nov.

ТАБЛИЦА I.

Фиг. 1. *Spyroceras saxbyense* sp. nov.

Сакси (сев.), ЭССР. ($F_1\beta\alpha$). 1 — внешний вид раковины сбоку, обр. ГМАН № С 1008 (голотип). Стр. 180.

Фиг. 2, 3. *Orthoceras luhai* sp. nov.

Кохила, ЭССР. ($F_1\beta$). 2 — внешний вид раковины сбоку, обр. ГМАН № С 1002 (голотип). 3 — то же, вид сверху. Стр. 179.

Фиг. 4, 7, 8. *Endoceras iucundum* sp. nov.

4 — вид сверху, обр. ГМАН № С 1043 (голотип). Нымкула, ЭССР. ($F_1\beta\beta$). 7 — вид сверху, обр. ГМАН № С 1044. Сакси (южн.), ЭССР. ($F_1\beta\beta$). 8 — то же, внешний вид раковины сбоку. Стр. 181.

Фиг. 5, 6. *Schroederoceras balaschovi* sp. nov.

г. Хаапсалу, ЭССР. ($F_1\gamma$). 5 — внешний вид раковины сбоку, обр. ГМАН № 1030 (голотип); 6 — то же, поперечное сечение раковины. Стр. 181.

ТАБЛИЦА II.

Фиг. 1, 3, 3а. *Endoceras iucundum* sp. nov.

1 — пришлифованная поверхность продольного сечения раковины, обр. ГМАН № С 1043 (голотип). Нымкула, ЭССР. ($F_1\beta\beta$). 3 — пришлифованная поверхность продольного сечения раковины, обр. ГМАН № С 1044.

ТАБЛИЦА I

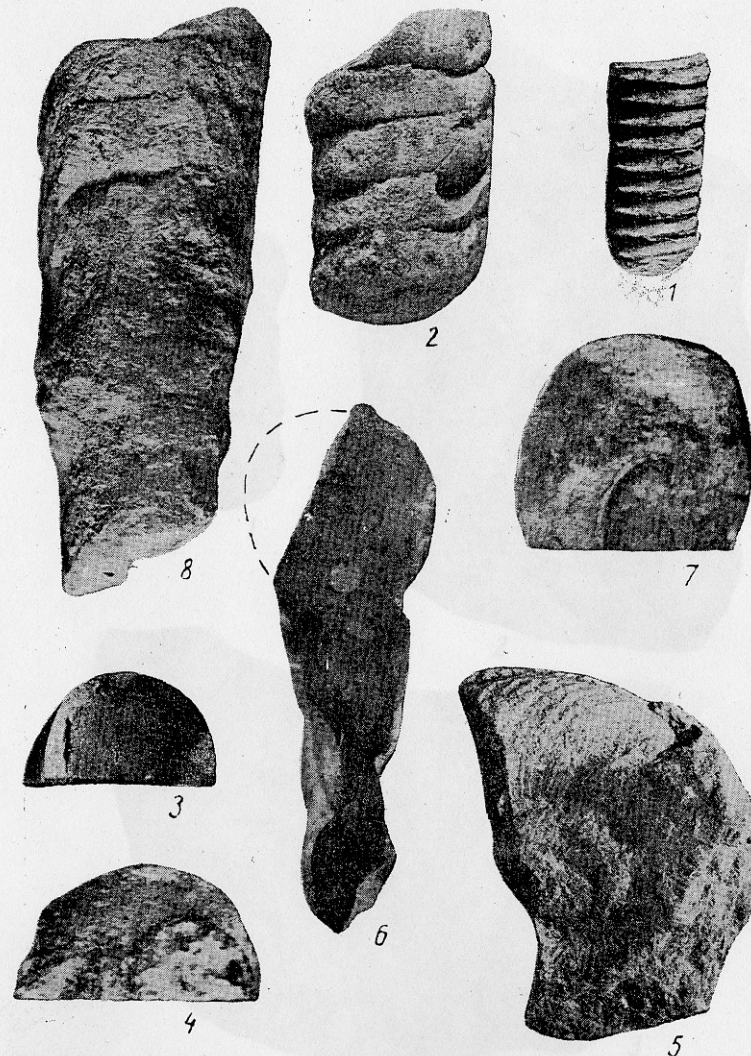
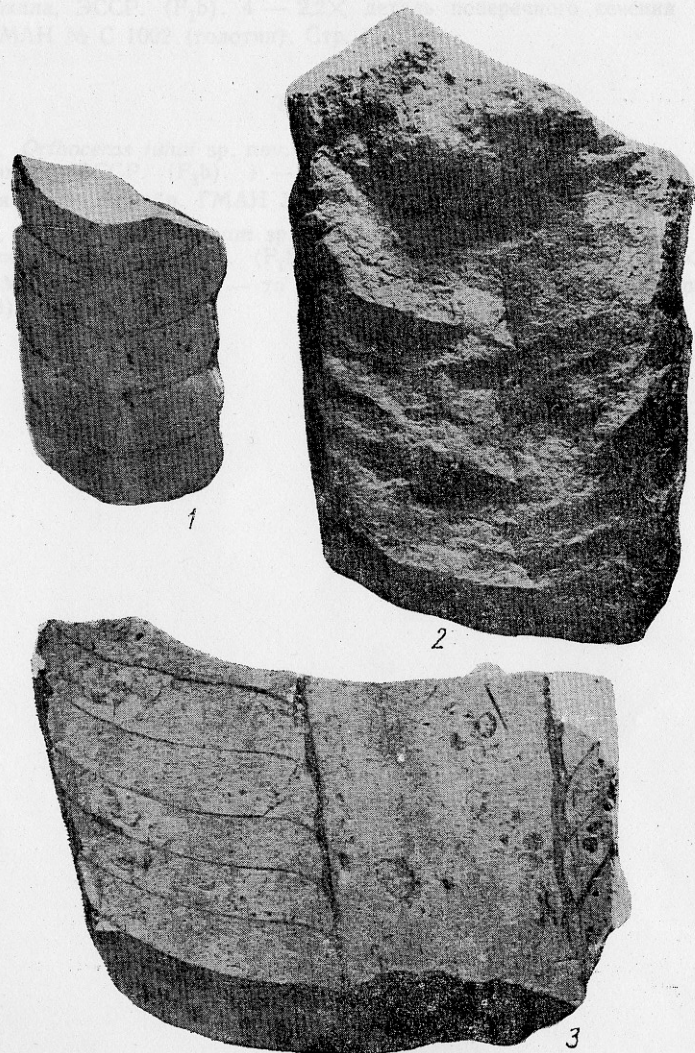


ТАБЛИЦА II



ТАБЛИЦА III



Сакеби (южн.), ЭССР. ($F_1b\beta$). 3а — то же, $2,3\times$ деталь поперечного сечения (рис. 3). Стр. 181.

Фиг. 2. *Spyroceras saxbyense* sp. nov.

Сакеби (сев.), ЭССР. (F_1ba). 2 — $3\times$ деталь устройства поперечных ребер и продольных ребрышек (рис. 2), обр. ГМАН № С 1008 (голотип). Стр. 180.

Фиг. 4. *Orthoceras luhai* sp. nov.

Кохила, ЭССР. (F_1b). 4 — $2,2\times$ деталь поперечного сечения (рис. 1), обр. ГМАН № С 1002 (голотип). Стр. 179.

ТАБЛИЦА III.

Фиг. 1. *Orthoceras luhai* sp. nov.

Кохила, ЭССР. (F_1b). 1 — пришлифованная поверхность продольного сечения раковины, обр. ГМАН № С 1002 (голотип). Стр. 179.

Фиг. 2, 3. *Endoceras magnum* sp. nov.

Сакеби (южн.), ЭССР. ($F_1b\beta$). 2 — внешний вид голотипа $\times 1,5$ ум., обр. ГМАН № С 1046; 3 — то же, пришлифованная поверхность раковины (рис. 4). Стр. 182.